

# 北京邮电大学



实验三：

使用 MIPS 指令实现求两个数组的点积

学院：计算机学院（国家示范性软件学院）

专业：计算机科学与技术

班级：2022211305

学号：2022211683

姓名：张晨阳

2025 年 4 月 21 号

# 目录

1. 实验目的 .....	1
2. 实验平台 .....	1
3. 实验原理 .....	1
3.1. MIPS 汇编语言实现 .....	1
3.2. 定向功能与静态调度 .....	1
3.3. 优化原理 .....	2
4. 源程序代码及注释说明 .....	3
5. 优化后程序说明 .....	5
6. 性能分析与比较 .....	8
6.1. 优化前-未开启定向 .....	8
6.2. 开启定向功能 .....	10
6.3. 优化后程序 .....	12
7. 实验总结 .....	14

# 1. 实验目的

- (1) 通过实验熟悉实验 1 和实验 2 的内容
- (2) 增强汇编语言编程能力
- (3) 学会使用模拟器中的定向功能进行优化
- (4) 了解对代码进行优化的方法

## 2. 实验平台

实验平台采用指令级和流水线操作级模拟器 MIPSsim。

## 3. 实验原理

### 3.1. MIPS 汇编语言实现

MIPS 汇编语言是一种简化的 RISC 架构,用于进行低级编程。在本实验中,我们将编写一个 MIPS 汇编程序,计算两个向量的点积。

具体步骤如下:

- **数据加载:** 程序开始时,将向量 A 和 B 的地址加载到寄存器中。
- **循环计算:** 通过一个循环,程序按顺序将向量的每一对元素加载到寄存器中,计算它们的乘积,并将结果累加到最终的点积中。
- **结束计算:** 当循环遍历完所有向量元素时,将累加结果存储到指定的内存位置,并结束程序执行。

### 3.2. 定向功能与静态调度

定向功能用于跟踪程序的每个阶段,确保程序执行的每个步骤都能按预期进行。通过定向功能,我们可以识别出程序中的潜在瓶颈,尤其是指令间的数据依赖。

静态调度是通过手动重排指令序列,避免不必要的等待和资源冲突,从而减少相关性。例如,可以将不相关的指令移动到其他指令之间,以减少处理器的空闲时间,从而提高程序的执行效率。

### 3.3. 优化原理

在实验中,我们使用静态调度方法优化程序。通过分析程序中的指令依赖性,识别并消除不必要的延迟,使得程序在执行时更高效。优化后的程序通过减少流水线冲突和空闲时间,实现了更快的执行速度。

- **优化目标:** 减少指令间的等待时间,优化数据访问顺序,避免数据冒险。
- **优化策略:** 通过重排指令,确保在计算当前向量元素的乘积时,其他操作不会干扰执行。通过调整循环内的指令顺序,优化向量元素的访问顺序,减少不必要的内存访问和寄存器操作。

## 4. 源程序代码及注释说明

```
1. .text
2. main:
3.     ADDIU $r1, $r0, A      # 将向量 A 的地址加载到寄存器$r1
4.     ADDIU $r2, $r0, B      # 将向量 B 的地址加载到寄存器$r2
5.     ADDIU $r3, $r0, ans     # 将结果存储地址加载到寄存器$r3
6.     ADDIU $r4, $r0, n      # 将向量维度 n 的地址加载到寄存器$r4
7.     LW $r4, 0($r4)         # 从内存中加载向量的维度 (n 值)
8.     ADDIU $r5, $r0, 0      # 初始化循环索引 i 为 0
9.     ADDIU $r6, $r0, 0      # 初始化累加器$r6 为 0, 用于存储结果
10.
11. loop:
12.     LW $r7, 0($r1)         # 从向量 A 中加载第 i 个元素到$r7
13.     LW $r8, 0($r2)         # 从向量 B 中加载第 i 个元素到$r8
14.     MUL $r9, $r7, $r8     # 计算 A[i] * B[i], 结果存储到$r9
15.     ADD $r6, $r6, $r9     # 将计算结果累加到累加器$r6 中
16.
17.     ADDI $r1, $r1, 4       # 将$r1 移动到向量 A 的下一个元素
18.     ADDI $r2, $r2, 4       # 将$r2 移动到向量 B 的下一个元素
19.     ADDI $r5, $r5, 1       # 索引 i 加 1
20.
21.     BNE $r5, $r4, loop     # 如果索引 i 不等于向量的维度 n, 继续循环
22.
23.     SW $r6, 0($r3)         # 将最终的点积结果存储到内存地址 ans 中
24.
25.     # 程序结束标志
26.     TEQ $r0, $r0          # 比较寄存器$r0 与自身, 结束程序
27.
28. # 数据部分
29. .data
30.     A: .word 1, 2, 3, 4, 5, 6, 7, 8, 9, 10 # 向量 A 的数据
31.     B: .word 10, 9, 8, 7, 6, 5, 4, 3, 2, 1 # 向量 B 的数据
32.     n: .word 10           # 向量的维度 n
33.     ans: .word 0          # 用于存储计算结果的内存地址
```

### 1. 程序概述

本程序使用 MIPS 汇编语言编写，目的是计算两个向量 A 和 B 的点积。程序假设向量 A 和 B 的维度  $n = 10$ 。向量数据存储在内存中，每个向量元素占用 4 字节（32 位）。程序通过循环逐个计算每个元素的乘积并累加，最终将点积结果存储在内存中的指定位置。

## 2. 程序结构

### (1) 初始化阶段

- **加载向量数据地址：**首先，程序通过 ADDIU 指令将向量 A 和 B 的地址加载到寄存器 \$r1 和 \$r2 中，准备访问向量元素。\$r3 被用来存储点积的结果地址。
- **加载维度：**程序使用 LW 指令从内存中加载向量维度 n 的值到寄存器 \$r4，这个值将用于控制循环次数。

### (2) 循环计算

- **加载向量元素：**每次循环，程序会使用 LW 指令将向量 A 和 B 的当前元素加载到寄存器 \$r7 和 \$r8。
- **乘法计算：**程序使用 MUL 指令计算当前元素的乘积  $A[i] \times B[i]$ ，结果存储在寄存器 \$r9。
- **累加结果：**将每次的乘积结果加到累加器 \$r6 中，最终 \$r6 将存储所有乘积之和，即点积结果。

### (3) 循环控制

- **更新指针和索引：**通过 ADDI 指令更新指针 \$r1 和 \$r2，移动到下一个向量元素。寄存器 \$r5 用来记录当前元素的索引，每次循环加 1。
- **判断是否继续：**BNE 指令判断索引 \$r5 是否等于维度 \$r4，如果不相等，则继续执行循环。

### (4) 结果存储与结束

- **存储结果：**在循环结束后，程序通过 SW 指令将最终的点积结果存储到内存中的 ans 位置。
- **程序结束：**通过 TEQ 指令比较寄存器 \$r0 与自身，作为程序的结束标志。

## 3. 数据部分

- **向量 A：**存储了 10 个整数，表示向量 A 的元素。
- **向量 B：**存储了 10 个整数，表示向量 B 的元素。
- **维度 n：**存储向量的维度，值为 10。
- **结果存储区 ans：**用于存储计算后的点积结果。

## 5. 优化后程序说明

```
1. .text
2. main:
3.     ADDIU $r1, $r0, A      # 将向量 A 的地址加载到寄存器$r1
4.     ADDIU $r2, $r0, B      # 将向量 B 的地址加载到寄存器$r2
5.     ADDIU $r3, $r0, ans    # 将结果存储的地址加载到寄存器$r3
6.     ADDIU $r4, $r0, n      # 将向量维度 n 的地址加载到寄存器$r4
7.     LW $r4, 0($r4)         # 从内存中加载向量维度 n 的值到寄存器$r4
8.     ADDIU $r5, $r0, 0      # 初始化循环索引 i 为 0, 存储在寄存器$r5
9.     ADDIU $r6, $r0, 0      # 初始化结果寄存器$r6 为 0, 用于存储点积结果
10.
11. loop:
12.     LW $r7, 0($r1)         # 从向量 A 中加载第 i 个元素 (A[i]) 到寄存器$r7
13.     LW $r8, 0($r2)         # 从向量 B 中加载第 i 个元素 (B[i]) 到寄存器$r8
14.
15.     MUL $r9, $r7, $r8      # 计算 A[i] * B[i], 结果存储在寄存器$r9
16.
17.     ADDI $r1, $r1, 4       # 移动到向量 A 的下一个元素, 4 字节为一个整数的大小
18.     ADDI $r2, $r2, 4       # 移动到向量 B 的下一个元素, 同样是 4 字节
19.     ADDI $r5, $r5, 1       # 索引 i 加 1
20.
21.     ADD $r6, $r6, $r9      # 将计算的 A[i] * B[i] 的结果累加到寄存器$r6
    中, 得到点积结果
22.
23.     BNE $r5, $r4, loop     # 如果索引 i 不等于向量维度 n, 继续循环, 执行下
    一次迭代
24.
25.     SW $r6, 0($r3)         # 将点积结果存储到内存地址 ans 中
26.
27.     # 结束程序
28.     TEQ $r0, $r0           # 比较寄存器$r0 与自身, 作为程序结束的标志
29.
30. # 数据部分
31. .data
32.     A: .word 1, 2, 3, 4, 5, 6, 7, 8, 9, 10 # 向量 A 的元素
33.     B: .word 10, 9, 8, 7, 6, 5, 4, 3, 2, 1 # 向量 B 的元素
34.     n: .word 10             # 向量的维度 n
35.     ans: .word 0            # 存储点积结果的内存地址
```

## 1. 程序结构

### (1) 初始化阶段

- **加载向量数据地址:** 程序首先使用 ADDIU 指令将向量 A 和 B 的地址加载到寄存器 \$r1 和 \$r2 中。寄存器 \$r3 用于存储最终的点积结果的内存地址。
- **加载向量维度:** 通过 LW 指令将向量的维度 n 从内存中加载到寄存器 \$r4, 用来控制循环的次数。

### (2) 循环计算

优化前的程序会在每次循环迭代中, 等待乘法结果才能进行加法计算, 并且每次都需要更新内存地址指针。

优化后的程序将加载数据、计算乘法、累加结果以及指针更新进行了合理安排, 尽量减少指令之间的等待时间。

- **加载向量元素:** 每次循环中, 使用 LW 指令分别从向量 A 和 B 中加载当前元素到寄存器 \$r7 和 \$r8。
- **乘法计算:** 计算当前元素的乘积  $A[i] \times B[i]$ , 结果存储在寄存器 \$r9。
- **指针更新与索引增加:** 通过 ADDI 指令分别更新向量 A 和 B 的地址, 移动到下一个元素, 同时更新索引寄存器 \$r5。
- **累加结果:** 将每次计算的乘积加到结果寄存器 \$r6 中, 通过 ADD 指令将乘积累加到之前的结果中。

### (3) 循环控制

- **继续循环判断:** 通过 BNE 指令检查索引 \$r5 是否与维度 \$r4 相等。如果不相等, 继续执行循环, 直到所有元素计算完毕。

### (4) 结果存储与程序结束

- **存储结果:** 在循环结束后, 程序通过 SW 指令将计算的点积结果存储到内存地址 ans 中。
- **结束程序:** 通过 TEQ 指令比较寄存器 \$r0 与自身, 标记程序结束。

## 2. 数据部分

- **向量 A:** 存储了 10 个整数, 表示向量 A 的元素。
- **向量 B:** 存储了 10 个整数, 表示向量 B 的元素。
- **维度 n:** 存储向量的维度, 值为 10。



- **结果存储区 ans:** 用于存储计算后的点积结果。

### 3. 优化内容与策略

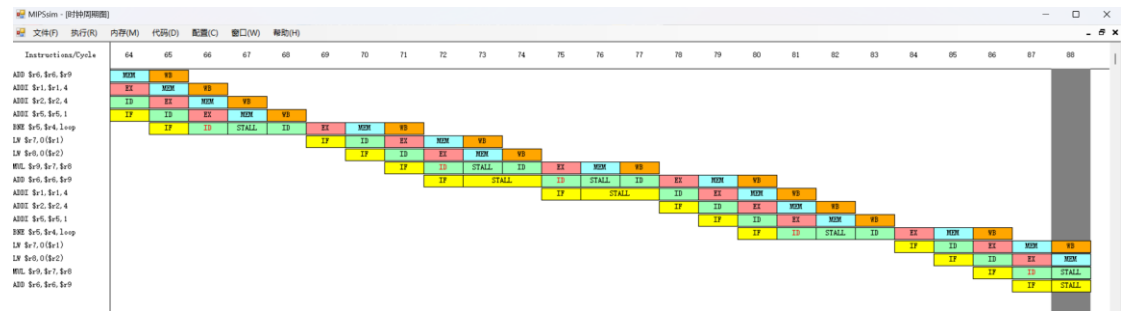
优化后的代码在指令的重排上做了以下优化：

- **减少数据依赖和等待:** 通过将加载数据、乘法计算和累加等操作分开并重排顺序，尽量避免了指令间的依赖等待。例如，在计算乘积的同时更新指针，使得下一轮的计算可以尽快进行，减少了流水线等待。
- **优化指令顺序:** 通过将不相关的指令重排，减少了乘法操作与加法操作之间的依赖，使得计算过程更加流畅，提高了指令的并行性。
- **指令间并行执行:** 通过合理安排指令，允许不同的指令在不同的流水线阶段并行执行，最大程度地减少了流水线冲突和指令延迟。

## 6. 性能分析与比较

### 6.1. 优化前-未开启定向

MIPSSim - [统计]	
文件(F)	执行(R) 内存(M) 代码(D) 配置(C) 窗口(W) 帮助(H)
汇总:	
执行周期总数: 164	
ID段执行了90条指令	
硬件配置:	
内存容量: 4096 B	
加法器个数: 1	执行时间 (周期数): 6
乘法器个数: 1	执行时间 (周期数): 7
除法器个数: 1	执行时间 (周期数): 10
定向机制: 不采用	
停顿 (周期数):	
RAW停顿: 62	占周期总数的百分比: 37.80488%
其中:	
load停顿: 20	占所有RAW停顿的百分比: 32.25806%
浮点停顿: 0	占所有RAW停顿的百分比: 0%
WAW停顿: 0	占周期总数的百分比: 0%
结构停顿: 0	占周期总数的百分比: 0%
控制停顿: 10	占周期总数的百分比: 6.097561%
自陷停顿: 1	占周期总数的百分比: 0.6097561%
停顿周期总数: 73	占周期总数的百分比: 44.5122%
分支指令:	
指令条数: 10	占指令总数的百分比: 11.11111%
其中:	
分支成功: 9	占分支指令数的百分比: 90%
分支失败: 1	占分支指令数的百分比: 10%
load/store指令:	
指令条数: 22	占指令总数的百分比: 24.44444%
其中:	
load: 21	占load/store指令数的百分比: 95.45454%
store: 1	占load/store指令数的百分比: 4.545455%
浮点指令:	
指令条数: 0	占指令总数的百分比: 0%
其中:	
加法: 0	占浮点指令数的百分比: 0%
乘法: 0	占浮点指令数的百分比: 0%
除法: 0	占浮点指令数的百分比: 0%
自陷指令:	
指令条数: 1	占指令总数的百分比: 1.111111%



根据 STALL 的时钟周期，不难发现，主要的数据相关来自：

- MUL \$r9, \$r7, \$r8 和 ADD \$r6, \$r6, \$r9
- LW \$r8, 0(\$r2) 和 MUL \$r9, \$r7, \$r8

## 6.2. 开启定向功能

MIPSSim

文件(F) 执行(R) 内存(M) 代码(D) 配置(C) 窗口(W) 帮助(H)

统计

汇总:  
执行周期总数: 122  
ID段执行了90条指令

硬件配置:  
内存容量: 4096 B  
加法器个数: 1  
乘法器个数: 1  
除法器个数: 1  
定向机制: 采用

执行时间 (周期数): 6  
执行时间 (周期数): 7  
执行时间 (周期数): 10

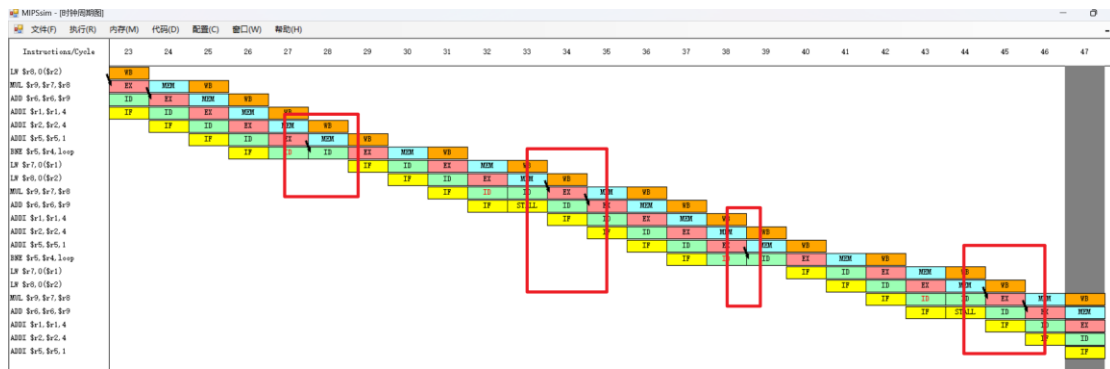
停顿 (周期数):  
RAW停顿: 20 占周期总数的百分比: 16.39344%  
其中:  
load停顿: 10 占有所有RAW停顿的百分比: 50%  
浮点停顿: 0 占有所有RAW停顿的百分比: 0%  
WAW停顿: 0 占周期总数的百分比: 0%  
结构停顿: 0 占周期总数的百分比: 0%  
控制停顿: 10 占周期总数的百分比: 8.196721%  
自陷停顿: 1 占周期总数的百分比: 0.8196721%  
停顿周期总数: 31 占周期总数的百分比: 25.40984%

分支指令:  
指令条数: 10 占指令总数的百分比: 11.11111%  
其中:  
分支成功: 9 占分支指令数的百分比: 90%  
分支失败: 1 占分支指令数的百分比: 10%

load/store指令:  
指令条数: 22 占指令总数的百分比: 24.44444%  
其中:  
load: 21 占load/store指令数的百分比: 95.45454%  
store: 1 占load/store指令数的百分比: 4.545455%

浮点指令:  
指令条数: 0 占指令总数的百分比: 0%  
其中:  
加法: 0 占浮点指令数的百分比: 0%  
乘法: 0 占浮点指令数的百分比: 0%  
除法: 0 占浮点指令数的百分比: 0%

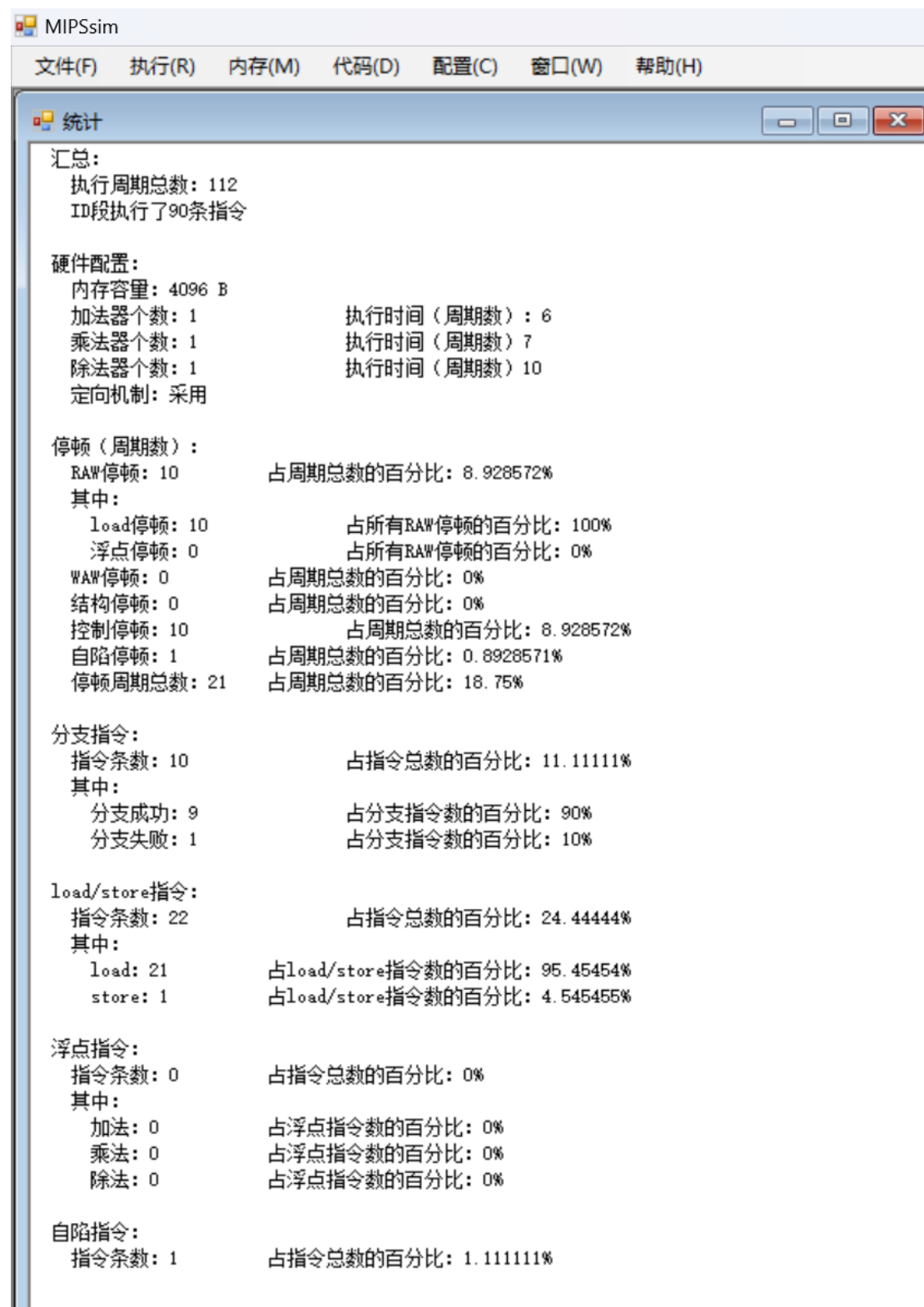
自陷指令:  
指令条数: 1 占指令总数的百分比: 1.111111%



主要的定向内容已在图中标出。

定向功能消除了部分数据冲突，性能提升了约  $164 \div 122 \approx 1.34$  倍。

## 6.3. 优化后程序



MIPSsim

文件(F) 执行(R) 内存(M) 代码(D) 配置(C) 窗口(W) 帮助(H)

统计

汇总:  
执行周期总数: 112  
ID段执行了90条指令

硬件配置:  
内存容量: 4096 B  
加法器个数: 1  
乘法器个数: 1  
除法器个数: 1  
定向机制: 采用

执行时间 (周期数): 6  
执行时间 (周期数): 7  
执行时间 (周期数): 10

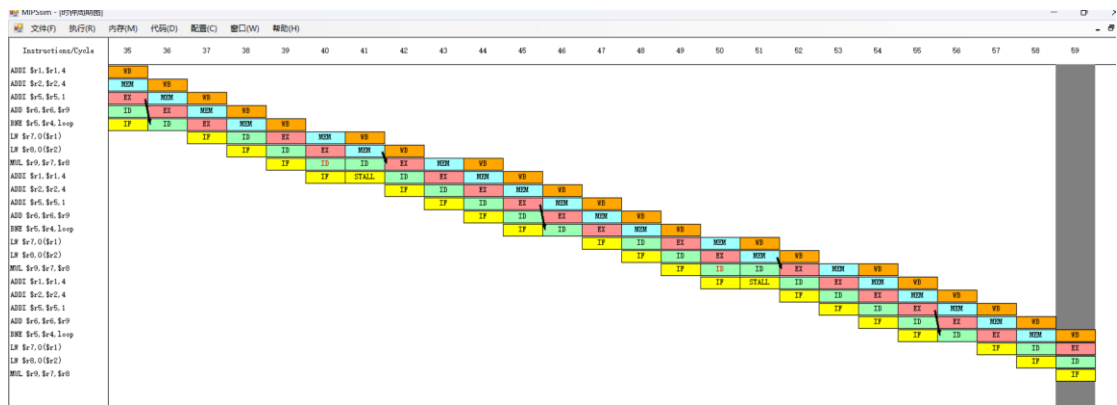
停顿 (周期数):  
RAW停顿: 10 占周期总数的百分比: 8.928572%  
其中:  
load停顿: 10 占所有RAW停顿的百分比: 100%  
浮点停顿: 0 占所有RAW停顿的百分比: 0%  
WAW停顿: 0 占周期总数的百分比: 0%  
结构停顿: 0 占周期总数的百分比: 0%  
控制停顿: 10 占周期总数的百分比: 8.928572%  
自陷停顿: 1 占周期总数的百分比: 0.8928571%  
停顿周期总数: 21 占周期总数的百分比: 18.75%

分支指令:  
指令条数: 10 占指令总数的百分比: 11.11111%  
其中:  
分支成功: 9 占分支指令数的百分比: 90%  
分支失败: 1 占分支指令数的百分比: 10%

load/store指令:  
指令条数: 22 占指令总数的百分比: 24.44444%  
其中:  
load: 21 占load/store指令数的百分比: 95.45454%  
store: 1 占load/store指令数的百分比: 4.545455%

浮点指令:  
指令条数: 0 占指令总数的百分比: 0%  
其中:  
加法: 0 占浮点指令数的百分比: 0%  
乘法: 0 占浮点指令数的百分比: 0%  
除法: 0 占浮点指令数的百分比: 0%

自陷指令:  
指令条数: 1 占指令总数的百分比: 1.111111%



与最开始的程序相比，效率大概是  $164 \div 112 \approx 1.46$  倍，

与仅仅开启定向的程序相比，效率大概是  $122 \div 112 \approx 1.09$  倍。

从三个执行过程的时钟周期图可以发现，性能提升的原因主要有两点：

- (1) 定向技术的使用优化了数据的流动过程；
- (2) 数据冲突的避免减少了执行过程中的 STALL。

## 7. 实验总结

通过本次实验，我对 MIPS 汇编语言的编程、流水线模拟以及程序优化有了更深入的理解。整个实验过程不仅帮助我掌握了如何实现向量点积计算，还使我认识到程序执行效率和优化的重要性。

总之，本次实验不仅提升了我的汇编编程能力，还让我认识到优化对程序性能的影响。在今后的学习中，我将继续深入研究程序优化，力求在设计和开发过程中最大化地提高程序的运行效率。